# 壳聚糖亚铁螯合物的合成及吸附动力学

张秀军<sup>\*</sup> 郎惠云 魏永锋 张维平 (西北大学化学系 西安 710069)

摘 要 研究了壳聚糖对  $Fe^{2+}$ 离子的吸附动力学行为和吸附条件优化。得到了较为理想的合成产物。用紫外光谱、红外光谱、元素分析和热分析对配合物的组成进行了表征。结果表明、壳聚糖与  $Fe^{2+}$  之间发生了配位作用,其吸附行为可用 Langmuir 单分子层吸附机理解释,且求得吸附表观活化能为 20 23 kJ finol 和 Lagergren 一级速率常数为 10 25 finol 10 25 finol 10 20 fi

关键词 壳聚糖,亚铁离子,配合物,吸附动力学

中图分类号: 0646

文献标识码: A

文章编号: 1000-0518(2003)08-0749-05

壳聚糖分子中富含活泼的羟基和氨基,且具有网状的分子形态,能与多种金属离子形成稳定的螯合物,是金属离子的良好配体,配合物具有生物相容性,在工业、农业、医药等方面有十分广阔的应用前景 $^{[1-3]}$ 。据文献报道 $^{[4]}$ ,人体对壳聚糖-亚铁配合物的吸收远远高于传统的  $FeSO_4$ 药物。因此,壳聚糖与 $Fe^{2+}$ 配合物将有望成为良好的天然生物补铁制剂。本文合成并表征了壳聚糖- $Fe^{2+}$ 配合物,研究了其吸附动力学。

# 1 实验部分

### 1.1 仪器和试剂

TAS-986 型原子吸收分光光度计(北京普析通用仪器有限公司); RQUINOX55 红外光谱仪(德国布鲁克公司, KBr 压片); TU-1221 型紫外分光光度计(北京普析通用仪器有限公司); PE-2400 型元素分析仪(美国 PE 公司); STA449C 型综合热分析仪(德国耐弛公司)。

壳聚糖(Chitosan, CTS, 脱乙酰度 96%, 分子量 780~000, 含水 5%, 青岛海汇生物工程公司提供); 硫酸亚铁铵、盐酸羟胺均为分析纯。

### 1.2 吸附动力学实验和吸附等温线的绘制

称取  $0.100~0~{\rm g~CTS}$  于  $25~{\rm mL}$  质量浓度为  $1~{\rm g}$  L 的含盐酸羟胺的  ${\rm Fe}^{2^+}$  溶液中,在  ${\rm pH}=3.5$  时分别在不同温度下使其反应,测定不同反应时间溶液中  ${\rm Fe}^{2^+}$  的残余量,绘制吸附动力学曲线。

称取  $0.100~0~{\rm g}$  CTS 于不同浓度的  ${\rm Fe}^{2^+}$  溶液中,室温下搅拌  $10~{\rm h}$ ,此时吸附已趋平衡,溶液经过滤后,测定  ${\rm Fe}^{2^+}$  的残余量,绘制吸附等温线。

### 1.3 亚铁离子含量的测定

使硫酸亚铁铵与壳聚糖形成配合物沉淀后, 经过滤, 用原子吸收分光光度计于  $248.3~\mathrm{nm}$  处测其残余  $\mathrm{Fe}^{2^+}$  离子吸光度, 求得亚铁离子的含量。根据吸附前后溶液中  $\mathrm{Fe}^{2^+}$  浓度的变化, 按下式计算其吸附容量:

$$O = V(c_0 - c) / m$$

式中, V为  $\operatorname{Fe}^{2^+}$  溶液的体积( $\operatorname{mL}$ );  $c_0 \setminus c$  分别为吸附前后溶液中  $\operatorname{Fe}^{2^+}$ 的质量浓度( $\operatorname{g}/\operatorname{L}$ ); m 为壳聚糖的质量( $\operatorname{g}$ ), Q 为吸附量( $\operatorname{mg}/\operatorname{g}$ )。

### 1.4 CTS-Fe<sup>2+</sup> 配合物的元素分析、热分析、紫外吸收光谱和红外吸收光谱的测定

将 CTS- $\operatorname{Fe}^{2+}$  制品先用含水乙醇,最后用无水乙醇洗涤,真空干燥至恒重。将 CTS 和 CTS- $\operatorname{Fe}^{2+}$  样品分

# 2 结果与讨论

# 2.1 CTS-Fe<sup>2+</sup> 配合物的光谱研究

实验用 CTS 为纯白色粉末状,所得吸附产物为桔黄色粉末状。CTS 及其  $Fe^{2+}$  配合物的紫外吸收光谱显示,纯的样品仅在 205.5 nm 处有 1 个强吸收峰且峰形较窄,而 CTS- $Fe^{2+}$  较 CTS 红移了 16.6 nm,除在 222.1 nm 处有 1 个宽而强吸收峰外,还在 334.5 nm 处产生新的吸收峰,这是配合物中氮、氧的孤对电子发生  $n \rightarrow \sigma^*$  跃迁,导致电子光谱发生的变化,由此可确证  $Fe^{2+}$  与 CTS 发生了配位,且 C-N 键由于 $NH_2$  与  $Fe^{2+}$  的结合,使其在一定程度上有所削弱,从而可推断  $NH_2$ 是 CTS 分子中主要吸附部位。对 CTS 和 CTS- $Fe^{2+}$  配合物的 IR 光谱分析发现。位于 3.432 cm II 处的 II 外一 和 II 一 和 II 一 重叠峰的伸缩振动吸收峰移向高频,且吸收峰变尖,说明 II II 1 II 3 II 2 个较尖的吸收峰,且位于 II 3 II 3 II 3 II 2 个较尖的吸收峰,且位于 II 3 II 3 II 3 II 2 个较尖的吸收峰,且位于 II 3 II 3 II 2 个较尖的吸收峰,是位于 II 3 II 3 II 2 个较尖的吸收峰,是位于 II 3 II 3 II 3 II 4 II 2 个较尖的吸收峰,是位于 II 3 II 3 II 2 II 2 个较尖的吸收峰,是位于 II 3 II 3 II 3 II 4 II 2 个较尖的吸收峰,是位于 II 3 II 3 II 4 II 4 II 4 II 5 II 5 II 6 I

别溶于 0.1 mol L 的 HCl 溶液中, 进行紫外吸收光谱扫描。固体样品进行元素分析、热分析和红外吸收

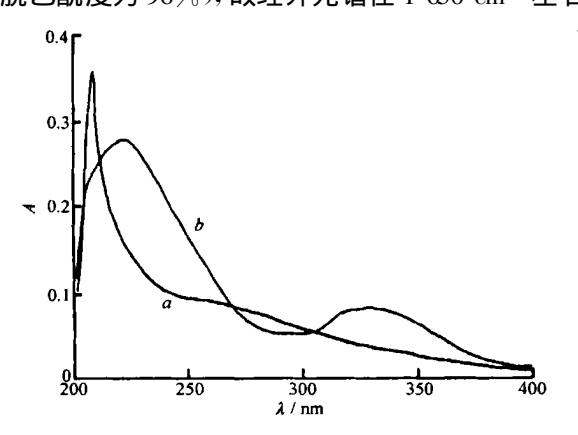


图 1 CTS(a)和 CTS-Fe<sup>2+</sup>(b)的紫外吸收光谱 Fig. 1 The UV spectra of (a)CTS and (b)CTS-Fe<sup>2+</sup>

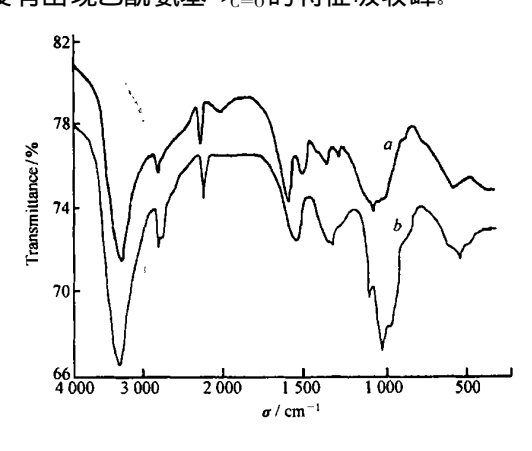


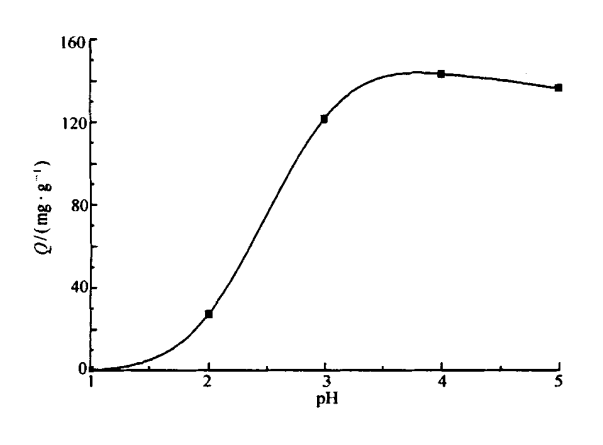
图 2 CTS(a)和 $CTS-Fe^{2+}(b)$ 的红外光谱 Fig. 2 The IR spectra of (a)CTS and (b)CTS-Fe $^{2+}$ 

# 2.2 pH 对 CTS 吸附量的影响

酸度对 CTS 吸附量的影响见图 3。结果表明, pH 值在  $3 \sim 5$  时, CTS 对  $Fe^{2^+}$  的络合程度最大。因 CTS 主要是通过  $-NH_2$  与  $Fe^{2^+}$  络合,在强酸性条件下(pH < 2),氨基大部分被质子化,失去对金属离子的螯合作用; 随着 pH 值的增大,游离氨基的含量增加,其络合能力也逐渐提高。但碱性过高时, $Fe^{2^+}$  易发生水解,也会导致吸附量降低。此实验还表明,溶液 pH > 5 时,亚 铁溶液放置超过 6 h,会出现黄色的 Fe  $(OH)_3$  混浊。故 pH 值控制在 3.5 左右为最佳。

## 2.3 CTS 对 $Fe^{2+}$ 的吸附动力学研究

平行取 8 份 CTS 于不同温度下进行动力学实验,得吸附动力学曲线如图 4 所示。图中结果表明,CTS 对  $Fe^{2+}$  离子的吸附具有较好的动力学性能。此吸附机理基本符合溶液中的物质在多孔性吸附剂上的吸附存在的 3 个必要步骤<sup>[3]</sup>。开始时吸附速率较快,且随时间的延长而有规律的减小,8 h 后基本趋于平衡。这是因为在开始时, $Fe^{2+}$  主要被吸附在 CTS 颗粒的外表面,吸附较快,随着吸附过程的进行, $Fe^{2+}$  离子的浓度逐渐减小,同时吸附质沿 CTS 微孔向内部扩散,扩散阻力渐增,吸附速率主要受扩散控制,导致吸附速率变慢,吸附后期,主要在吸附剂内表面吸附,且浓度推动力越来越小,吸附已基本达到平衡。若以 t/Q 对 t 作图,可得一直线,如图 5 所示。根据质量作用定律和单分子层吸附机理,其吸附动



140 120 100 100 40 40 20 0 3 6 9 12 15 18 21 24 Time/h

图 3 pH 对 CTS 吸附量的影响 Fig. 3 The effect of pH value on the adsorption capacity of CTS

图 4 不同温度下 CTS 对 Fe<sup>2+</sup> 的吸附速率 Fig. 4 Rate of adsorption of Fe<sup>2+</sup> on CTS at different temperature Temp. /°C; ● 20; ▲ 35, ▼45; ◆ 60

力学方程[6] 为:

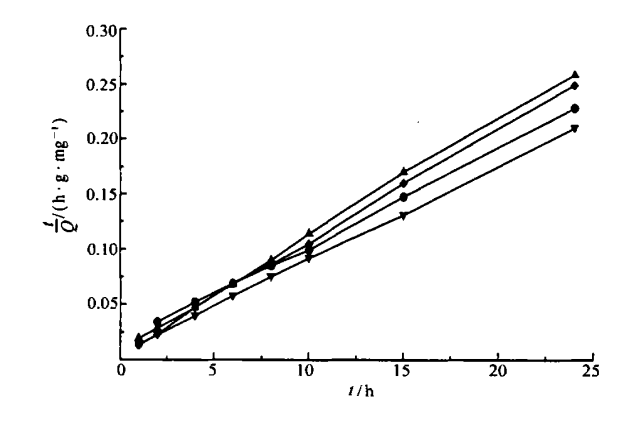
$$t/Q = t/Q_{eq} + 1/(k \circ Q_{eq})$$

式中,  $Q_{eq}$ 为不同温度下的平衡吸附量(mg/g); k 为表观吸附速率常数, 由斜率和截距可分别求得  $Q_{eq}$ 和 k 值, 结果列于表 1。

表 1 不同温度下的吸附动力学参数

Table 1 Adsorption kinetic parameters at different temperature

<i>T/</i> K	$Q_{\rm eq}/({\rm mg}^{\circ}{\rm g}^{-1})$	k	$r^2$
293. 15	108. 69	0. 929 3	0.996 6
308. 15	95.238	1. 363 6	0. 999 1
318. 15	116. 28	1. 755	0. 999 6
333, 15	98.039	2. 667	0, 999 3



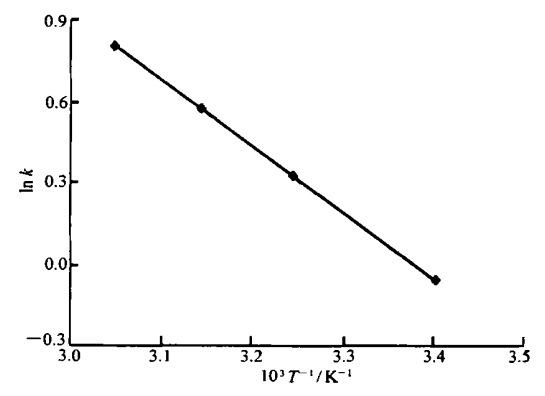


图 5 CTS 对 Fe<sup>2+</sup>的吸附动力学曲线 Fig. 5 The adsorption kinetic curves for CTS towards Fe<sup>2+</sup> Temp. / ℃; ● 20: ▲35; ▼45; ◆60

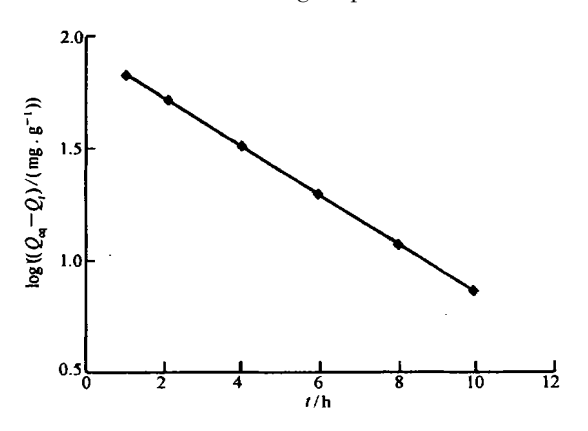
图 6 温度对吸附速率的影响 Fig. 6 Plot of  $1/T vs \ln k$ 

以  $\ln k$  对 1/T 作图,可得一直线(见图 6),其相关系数  $r^2 = 0.998$  9。表明温度对吸附速率的影响服从 Arrhenius 方程。由斜率求得吸附的表观活化能  $\Delta E = 20.23$  kJ mol。由图 6 可知,温度对反应速率常数的影响很大,整个吸附过程为速率控制步骤。可见所推机理与实验结果相符。

对在室温 $(20^{\circ}C)$ 时吸附动力学曲线进行 Lagergren 一级方程 $^{[q]}$  拟合(如图 7)表明, 壳聚糖对 Fe $^{2+}$ 离子的吸附符合 Lagergren 一级方程:

$$\log (Q_{eq} - Q_t) = \log Q_{eq} - kt \ 2.303$$

式中, $Q_{eq}$ 、 $Q_t$ 分别为平衡时和时间 t 时的吸附量 (mg/g); t 为反应时间 (h); k 为吸附速率常数。由此可求得初始  $Fe^{2^+}$  质量浓度为 1 g L、pH=3. 5、温度为 20  $^{\mathbb{C}}$  时的一级速率常数 k 为 0. 25  $h^{-1}$  。



0.04 0.03 0.01 0.02 0.01 0.02 0.01 0.02 0.01 0.02 0.02 0.03 

图 7 吸附的 Lagergren 方程

Fig. 7 The lagergren sorption diagram of chitosan for ferrous ion

图 8 吸附的 Langmuir 吸附等温线

Fig. 8 Langmuir adsorption isotherm of  $Fe^{2+}$  on chitosan

# 2.4 CTS 对 Fe<sup>2+</sup> 的吸附等温线

通过一定温度下不同初始浓度  $\operatorname{Fe}^{2+}$  溶液中  $\operatorname{CIS}$  对  $\operatorname{Fe}^{2+}$  离子的吸附性能研究,可以发现吸附达到平衡时溶液中残余  $\operatorname{Fe}^{2+}$  离子浓度  $c_{\operatorname{eq}}(\operatorname{Fe}^{2+})$ 和平衡吸附量  $Q_{\operatorname{eq}}$ 之比值与平衡浓度  $c_{\operatorname{eq}}(\operatorname{Fe}^{2+})$ 间呈线性关系,如图 8 所示。表明  $\operatorname{CIS}$  对  $\operatorname{Fe}^{2+}$  离子的吸附符合 Langmuir 吸附等温线方程:

$$c_{\text{eq}}(\text{Fe}^{2^{+}}) / Q_{\text{eq}} = c_{\text{eq}} / Q_{\text{max}} + 1 / (K \circ Q_{\text{max}})$$

式中,  $Q_{\text{max}}$  为饱和吸附容量; K 为吸附平衡常数; 其 Langmuir 直线关系式为:

$$c/Q=0.0046+0.0122c$$
  $r^2=0.9962$ 

由此可求得在室温下, pH=3.5 吸附 24 h 的饱和吸附量为  $Q_{\text{max}}$ =149.25 mg g, K=0.728 J/mg.

### 2.5 元素分析

配合物的元素分析结果列于表 2。

表 2 配合物的元素分析

Table 2 The elemental analysis results

C 1		Elen	nental analysis(calcd.)	1%	
Sample	C	Н	N	S	Fe
CTS *	40. 42(40. 37)	7. 14(7.30)	7. 87(7. 75)	_	_
[Fe(CIS) <sub>2</sub> ] °SO <sub>4</sub> °7H <sub>2</sub> O	27. 46(26. 19)	5. 91(5.99)	4. 95(4. 64)	5. 54(5. 31)	8. 85(8. 73)

<sup>\*[</sup> $(C_8H_{13}NO_5)_{0.04} + (C_6H_{11}NO_4)_{0.96}$ ] ° $H_2O$ .

由表 2 可知,CTS 与  $Fe^{2+}$  的硫酸盐反应后,有确定的组成,元素分析实测值与理论计算值很接近,即  $Fe^{2+}$  与 CTS 的配位比为 12。其配合物难溶于水及常见的有机溶剂乙醇、丙酮、THF 和 DMF 中,也不溶于 1%的 HCOOH 中,但在加热下可溶于稀 HCl 中。

### 2.6 配合物[Fe(CTS)<sub>2</sub>] °SO<sub>4</sub> °7H<sub>2</sub>O 的热分解机理

配合物[ $Fe(CTS)_2$ ] ° $SO_4$  ° $7H_2O$  在  $N_2$ 气气氛下,升温速率  $\beta$  为 10. 0 °C min 时的 TG-DTG DSC 数据如表 3 所示。

可见配合物[Fe(CTS)<sub>2</sub>]  $^{\circ}$ SO<sub>4</sub>  $^{\circ}$ 7H<sub>2</sub>O 的热分解可能分为 3 个阶段(见表 3)。在 26~156  $^{\circ}$ C温度范围内, 主要脱去所带的结晶水, 质量损失率为 77.96%。然后是配合物的部分分解, 温度范围为 156~359

 $^{\circ}$ 、在 260. 5  $^{\circ}$ 0时出现 1 放热峰,表明可能有晶形转变发生,质量损失率 40. 33  $^{\circ}$ ;最后一步分解在 359  $^{\circ}$ 750  $^{\circ}$ 2范围内,质量损失 24. 24  $^{\circ}$ 、主要是  $\mathrm{SO}_{3}^{\circ}$  的失去,最终分解产物为  $\mathrm{Fe}_{2}\mathrm{O}_{3}$  。

#### 表 3 配合物的 TG-DTG/DSC 热分析数据

Table 3 Thermoanalysis data of the complex [Fe(CTS)<sub>2</sub>]  $^{\circ}$  SO<sub>4</sub>  $^{\circ}$ 7H<sub>2</sub>O

Store	Temp. DSC peak DTG peak Loss of mass 1%		mass 1%	Expelled	Left Product		
Stage	range/°C	$^{\prime}\mathbb{C}$ Temp. $^{\prime}\mathbb{C}$ Temp. $^{\prime}\mathbb{C}$ TG theory group	groups				
I	26 ~ 156	91. 0	90. 0	77.96	78. 12	-H <sub>2</sub> O	[ Fe(CIS) <sub>2</sub> \ \\$O <sub>4</sub>
II	156 ~ 359	260. 5	245. 0	40. 33	41.08	- CTS	$[Fe(CTS)_2] \circ SO_4 \circ 7FeSO_4$
III	359 ~ 750	674. 0	660.0	24. 24	26. 80	$-\mathrm{so}_3$	$\mathrm{Fe_2O_3}$

### 参考文献

- 1 Jeon D. *Kobunja Kwahak Kwa Kisul*[J], 1997, **8**(5): 579
- 2 YUAN Yi-Hua(袁毅华), LAI Xirg-Hua(赖兴华), CHEN Chun-Xin(陈纯馨), et al. Chin J Applied Chem(应用 化学)[J], 2000. 17(2): 217
- 3 Kubota N, Kikuchi Y. Polysaccharides M (Ed by Dumitriu S). New York: Marcel Dekker, 1998: 595
- 4 Marinoni V, Conti F. Eur Par APP EP 194497(IPC 008b-037108)[P], 1986
- 5 HE Bing Lin(何炳林), HUANG Wen Qiang(黄文强). Ion Exchange and Adsorption Resin(离子交换与吸附树脂)[M]. Shanghai(上海); Shanghai Science & Education Press(上海科教出版社), 1995, 2; 406
- 6 WANG Xue-Jie(王学杰). Environmental Sci Tech Abroad(国外环境科学技术)[J], 1992 (1): 64

# Synthesis and Adsorption Kinetics of the Chelate Compound of Chitosan with Ferrous Ions

ZHANG Xiu-Jun\*, LANG Hui-Yun, WEI Yong-Feng, ZHANG Wei-Ping (Department of Chemistry, Northwest University, Xi an 710069)

**Abstract** The isothermal sorption kinetics of chitosan(CTS) for ferrous ions has been investigated. The structure of the chelate compound was confirmed by IR spectra UV-VIS spectra elemental and thermal analysis. The results were satisfied with the Langmuir-single-molecule-layer adsorption mechanism and the Lagergren-one-order equation. The apparent adsorption activation energy is 20. 23 kJ mol and the sorption rate constant of the Lagergren-one-order sorption is 0. 25 h<sup>-1</sup> at 293. 15 K.

**Keywords** chitosan, ferrous, chelate, adsorption kinetics